

Л и т е р а т у р а

1. С о л о д о в н и к о в В.В., Д м и т р и е в А.Н., Е г у п о в Н.Д. Ортогональный метод анализа и синтеза линейных систем автоматического управления на основе понятия моментов.- В сб.: Автоматическое управление и вычислительная техника. Вып.8.- М.:Машиностроение, 1968, с.30-86.

2. В а к у л и ч Е.А., д у к о в с к и й А.Е. Метод восстановления автокорреляционной функции на входе измерительной системы.- В сб.: Стабилизация технических систем с запаздыванием во времени. Вып. 2.-Куйбышев: КуАИ, 1975, с.70-75.

3. В а к у л и ч Е.А., Л е д я е в С.Ф. Ортогональные разложения в задаче восстановления входного сигнала нестационарной системы.- В сб.:Математика. Вып. I. - Куйбышев: КуАИ, 1975, с.76-81.

УДК 621.005

Э.А.Гедримас, П.Ю.Жилжас, М.И.Кондрашов

ОПРЕДЕЛЕНИЕ ДИНАМИЧЕСКИХ НАГРУЗОК В КЛАПАННЫХ УПЛОТНЕНИЯХ

При решении вопросов обеспечения работоспособности пневмо-гидроагрегатов (ПГА) по критериям прочности и герметичности возникает задача достоверной оценки динамических нагрузок в клапанных уплотнениях (КУ). Данная задача охватывает режимы срабатывания ПГА, когда динамические нагрузки в КУ определяются параметрами контактного взаимодействия уплотнительных поверхностей, а также установившиеся режимы, когда на КУ оказывают воздействие гидродинамические силы, вибрации и колебания управляющего усилия в приводе. Известные аналитические методы расчета динамических нагрузок в КУ предназначены, в основном, для решения частных вопросов, таких как определение собственных частот подвижных элементов КУ, условий виброустойчивости, разгерметизации и пр. [1]. При этом внешние воздействия принимаются, как правило, гармоническими, не

учитываются многие нелинейные факторы, в связи с чем практическое применение известных методов является весьма ограниченным.

В данной работе предлагается достаточно универсальная математическая модель ПГА, включающих КУ, охватывающая как переходные, так и установившиеся режимы работы. При математическом описании ПГА расчленяется на две подсистемы: подсистему управления агрегата и подсистему КУ с корпусом. Такое расчленение ПГА позволяет упростить математические выкладки и существенно снижает трудоемкость расчетов при переходе от одного типа привода управления к другому.

Пневмогидроагрегат в целом представляется набором элементов со сосредоточенными и распределенными параметрами. Математическое описание ПГА осуществляется с учетом силовых воздействий, порождаемых приводом управления, упругих и гидродинамических сил, действующих на запорный элемент КУ, продольных вибраций корпуса агрегата, а также сил вязкого и сухого трения в приводе и КУ.

При решении задачи используется сочетание метода характеристик и принципов последовательных временных интервалов, а также многоступенчатой аппроксимации функций и переменных коэффициентов. Такой подход обеспечивает свободную интерпретацию нелинейности отдельных характеристик (в частности, контактной жесткости) и позволяет проводить расчеты при произвольных законах изменения во времени внешних воздействий. Отметим, что такое представление задачи не противоречит волновой теории Сен-Венана о продольном сударении стержней и теории удара Герца, что позволяет распространить ее на случай сударения элементов КУ в пределах непрерывного контакта.

При математическом описании подсистемы ПГА исходными являются гиперболические квазилинейные дифференциальные уравнения продольных колебаний стержней, имеющие вид [2]

$$-\frac{\partial v}{\partial x} = \frac{1}{EF} \frac{\partial S}{\partial t}, \quad (1)$$

$$-\frac{\partial v}{\partial t} = \frac{1}{\rho F} \frac{\partial S}{\partial x}, \quad (2)$$

где x - координата вдоль оси стержня; v - скорость движения сечения стержня (с учетом скорости движения штока привода до сударения в КУ); S - внутреннее усилие; F - площадь сечения

однородного стержня; ρ и E - плотность и модуль упругости материала стержня; t - время.

Согласно методу характеристик, решение уравнений (1) и (2) сводится к интегрированию обыкновенных дифференциальных уравнений

$$ds \pm \rho a F dv = 0, \quad (3)$$

справедливых на характеристиках

$$dx \pm a dt = 0, \quad (4)$$

где $a = \sqrt{E/\rho}$ - скорость звука в стержне.

Обязательным условием совместного интегрирования уравнений (3) и (4) является учет взаимосвязи временной t и пространственной x переменных. Так как на характеристиках скорость v и сила S постоянны, система дифференциальных уравнений вырождается в систему алгебраических уравнений

$$\Delta S \pm \rho a F \Delta v = 0. \quad (5)$$

Таким образом, расчет динамических нагрузок в КУ сводится к последовательному вычислению переменных по алгебраическим уравнениям (5) с учетом соответствующих краевых условий и многоступенчатой аппроксимации функций, характеризующих внешние воздействия. Путем сдвига характеристик возможно вычисление переменных с заданным интервалом. Приемлемость такого подхода достаточно обоснована при решении задач гидравлики [3].

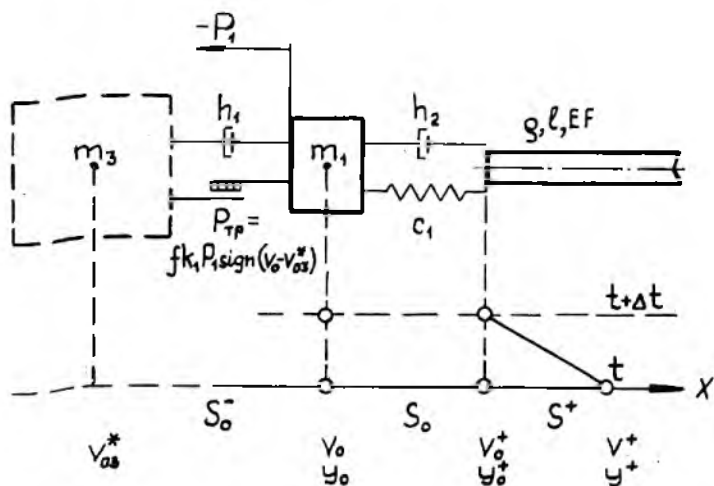
Используя приведенный выше подход, для подсистемы управления ПГА (рис.1) получаем исходную систему алгебраических уравнений:

$$\begin{aligned} S1_0 - S^+ - \rho a F (v1_0^+ - v^+) &= 0, \\ S1_0 &= -c_1(y1_0^+ - y1_0) - h_2(v1_0^+ - v1_0), \\ S1_0 - P_1 + fk P_1 \operatorname{sign}(v_0 - v_{03}^*) - S1_0 &= m_1 \frac{v1_0 - v_0}{\Delta t}, \\ S1_0 &= -h_1(v1_0 - v_{03}^*), \end{aligned} \quad (6)$$

$$v1_0^+ = \frac{y1_0^+ - y_0}{\Delta t},$$

$$v1_0 = \frac{y1_0 - y_0}{\Delta t},$$

где S_0 и S - внутренние силы, действующие на поршень и шток в момент времени t соответственно (знак "плюс" и "минус" указы-



р и с. I. Расчетная схема подсистемы управления пневмогидроклапана (пневмопривод)

вают на положение точки по координате x относительно центра массы поршня); 1 - символ, обозначающий параметры системы в момент времени $t + \Delta t$; v_0^* , y_0 , v , y - скорости и смещения центра массы поршня и примыкающего к нему сечения штока соответственно; c_1 - жесткость упругой связи между штоком и поршнем; h_1 , h_2 - коэффициенты демпферов вязкого трения; m_1 - масса поршня; P_1 - равнодействующая внешних сил на поршне (осредненная в пределах временного интервала Δt); f - коэффициент трения в уплотнении поршня; k - коэффициент, учитывающий особенности действия силы сухого трения в приводе; v_{0s}^* - скорость перемещения корпуса ПГА на предыдущем шаге расчета при совместном решении уравнений обеих подсистем.

После преобразований исходных уравнений (6) получаем систему конечных уравнений для последовательного вычисления переменных в каждом временном интервале:

$$v1_0 = \begin{cases} \frac{A_3 - fkP_1 \operatorname{sign}(v_0 - v_{03}^*)}{\frac{m_1}{\Delta t} + h_1 + \frac{A_1}{A_2}}, & \text{при } A_3 > fkP_1 \\ v_{03}^* & \text{при } |A_3| < fkP_1 \\ \frac{A_3 + fkP_1 \operatorname{sign}(v_0 - v_{03}^*)}{\frac{m_1}{\Delta t} + h_1 + \frac{A_1}{A_2}}, & \text{при } A_3 < -fkP_1 \end{cases};$$

$$S1_0 = \frac{A_1}{A_2} v1_0 - \frac{C_1(v_0^+ - v_{03}^*)}{A_2} - \frac{A_1}{A_2} (v^+ - \frac{S^+}{\rho a F}),$$

$$v1_0^+ = \frac{S1_0}{\rho a F} + v^+ - \frac{S^+}{\rho a F},$$

$$S1_0^- = -h_1(v1_0 - v_{03}^*),$$

$$y1_0^+ = y_0^+ + v1_0^+ \Delta t,$$

$$y1_0 = y_0 + v1_0 \Delta t.$$

$$\text{где } A_1 = h_2 + C_1 \Delta t, A_2 = 1 + \frac{A_1}{\rho a F},$$

$$A_3 = h v_{03}^* + P_1 + \frac{C_1(y_0^+ - y_0)}{A_2} + \frac{A_1}{A_2} (v^+ - \frac{S^+}{\rho a F}) + \frac{m_1}{\Delta t} v_0.$$

Для подсистемы КУ с корпусом (рис.2) исходная система уравнений имеет вид:

$$S1_{01} - S^- + \rho a F (v1_{01} - v^-) = 0,$$

$$S1_{01} = -C_2(y1_{02} - y1_{01}) - h_3(v1_{02} - v1_{01}),$$

$$S1_{02} + P_2 - S1_{02} = m_2 \frac{v1_{02} - v_{02}}{\Delta t},$$

$$S1_{02} = -C_3(y1_{03} - y1_{02}) - h_4(v1_{03} - v1_{02}),$$

$$S1_{03} + P_3 - S1_{03} = m_3 \frac{v1_{03} - v_{03}}{\Delta t},$$

$$S1_{03} = -C_4(-y1_{03}) - h_5(-v1_{03}),$$

$$v1_{01} = \frac{y1_{01} - y_{01}}{\Delta t},$$

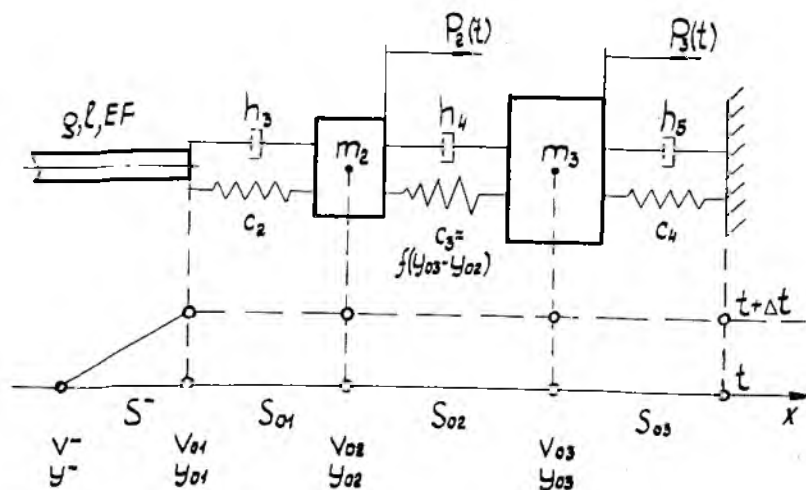
$$v'_{102} = \frac{y_{102} - y_{02}}{\Delta t},$$

$$v'_{103} = \frac{y_{103} - y_{03}}{\Delta t},$$

(8)

где S , S_{01} , S_{02} и S_{03} - внутренние силы (S_{02} - контактная сила в КУ) в момент времени t ; v , v_{01} и y , y_{01} - скорости и смещения соответствующих сечений штока; v_{02} , v_{03} , y_{02} , y_{03} - скорости и смещения центров масс запорного элемента и корпуса ПГА соответственно; m_2 , m_3 - массы запорного элемента и корпуса с седлом соответственно; c_2 , c_3 , c_4 , h_3 , h_4 , h_5 - жесткости упругих связей и коэффициенты демпферов вязкого трения соответственно; P_2 , P_3 - равнодействующие внешних сил на запорном элементе и на корпусе ПГА соответственно.

Проводя соответствующие преобразования, систему конечных уравнений получаем в следующем виде:



Р и с. 2. Расчетная схема подсистемы КУ с корпусом пневмогидроклапана

$$\begin{aligned}
y_{101} &= \frac{B_1}{B_5 B_7} \left(p_2 + \frac{B_2}{B_4} p_3 \right) + \frac{c_2 (y_{02} - y_{01})}{B_7} + \frac{B_1}{B_5 B_7 \Delta t} (m_2 v_{02} + \\
&\quad + \frac{B_2}{B_4} m_3 v_{03}) + \frac{B_1 B_6}{B_5 B_7} + \frac{S^- + \rho F a v^-}{B_7}, \\
y_{102} &= \frac{B_1}{B_5} y_{101} + \frac{m_2 v_{02} + \frac{B_2}{B_4} m_3 v_{03}}{B_5 \Delta t} + \frac{p_2 + \frac{B_2}{B_4} p_3}{B_5} + \frac{B_6}{B_5}, \\
y_{103} &= \frac{B_2}{B_4} v_{101} \frac{m_3}{B_4 \Delta t} v_{02} + \frac{p_3}{B_4} - \frac{c_3 (y_{03} - y_{02}) + c_4 y_{03}}{B_4}, \\
S_{101} &= B_7 (v_{101} - v_{102}) - c_2 (y_{02} - y_{01}), \\
S_{102} &= B_2 (v_{102} - v_{103}) - c_3 (y_{03} - y_{02}), \\
S_{103} &= B_3 v_{103} + c_4 y_{03}, \\
y_{101} &= y_{01} + v_{101} \Delta t, \\
y_{102} &= y_{02} + v_{102} \Delta t, \\
y_{103} &= y_{03} + v_{103} \Delta t,
\end{aligned}$$

где $B_1 = h_3 + c_2 \Delta t$, $B_2 = h_4 + c_3 \Delta t$, $B_3 = h_5 + c_4 \Delta t$,

$$B_4 = B_2 + B_3 + \frac{m_3}{\Delta t}, \quad B_5 = B_1 + B_2 - \frac{B_2^2}{B_4} + \frac{m_2}{\Delta t},$$

$$B_6 = -c_2 (y_{02} - y_{01}) + c_3 (y_{03} - y_{02}) - \frac{B_2}{B_4} [c_3 (y_{03} - y_{02}) + c_4 y_{03}],$$

$$B_7 = \rho a F + B_1 - \frac{B_1}{B_5}. \quad (9)$$

Приведенная выше математическая модель ПГА построена на основе последовательного соединения отдельных звеньев. Существующая параллельная связь между массами m_1 и m_2 (см. рис. 1) в расчете искусственно исключается путем использования значений скорости перемещений корпуса v_{03}^* , полученных на предыдущем шаге расчета. Такое упрощение при выполнении условия $1/\Delta t \ll f_B$ (f_B - наиболее

высокая частота собственных колебаний элементов ПГА) в инженерных расчетах является вполне допустимым.

Расчет динамических нагрузок в элементах ПГА осуществляется при совместном решении систем уравнений (7) и (9) на ЭЦВМ. Контактное давление в КУ соответствует значениям внутренней силы S_{02} . В программу численного расчета может быть также заложено автоматическое изменение временного интервала Δt . Расчет при этом заканчивается при достаточной близости двух соседних приближений.

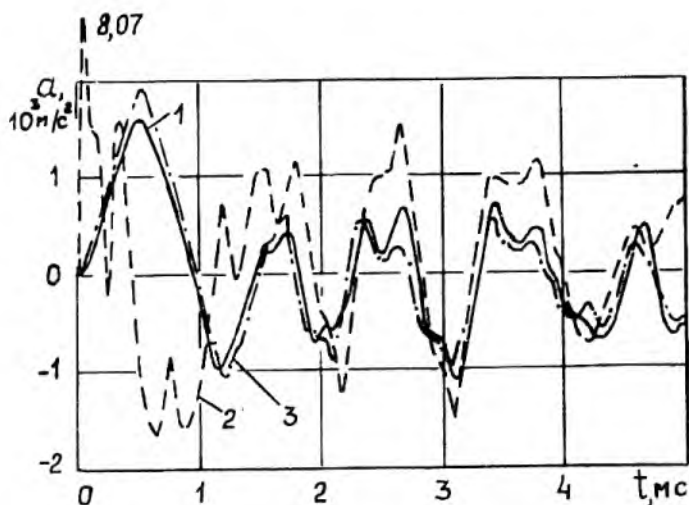
Изложенная методика расчета динамических нагрузок в КУ позволяет, не изменяя структуры расчетных зависимостей, а следовательно и программы расчета, проводить широкий анализ влияния конструктивно-технологических и эксплуатационных факторов на нагруженность КУ путем изменения исходных данных, в том числе и параметров, характеризующих законы изменения во времени внешних нагрузок.

Определение степени достоверности и эффективности расчета ударных и установившихся процессов в КУ осуществлялось путем сравнения расчетных и экспериментальных данных. В качестве объекта исследования использовался пневмогидроклапан с проходным сечением d_y 32 мм и рабочим давлением $p_{\text{раб}} = 5,0$ МПа, содержащий КУ типа "металл по металлу". Расчеты осуществлялись на ЭВМ ЕС-1022.

В связи с известными трудностями непосредственного измерения динамических контактных нагрузок проводились измерения продольных вибраций корпуса пневмогидроклапана. Для этих целей использовалась система измерения ударных процессов "SMART" ("Endevco", США).

В качестве примера приведены (рис.3) экспериментальный (кривая 1) и расчетные графики (кривые 2,3), характеризующие временную зависимость вибраций корпуса клапана при следующих исходных данных: $m_1 = 0,06$ кг; $m_2 = 0,12$ кг; $m_3 = 4,5$ кг; $h_1 = 0$; $h_2 = h_3 = 10^3$ кг/с²; $h_4 = 10^6$ кг/с²; $h_5 = 10^4$ кг/с²; $C_1 = C_2 = 10^{10}$ Н/м; $C_4 = 10^6$ Н/м; $P_1 = 1 - 2t$ [кН], где $0 \leq t \leq 0,25$ с; $P_2 = 1,88$ кН; $k = 1$; $f = 0,5$; $a = 5000$ м/с; $\rho = 7,8 \cdot 10^3$ кг/м³; $EF = 2,37 \cdot 10^7$ Н; $l = 0,09$ м; $v_0 = 0,6$ м/с.

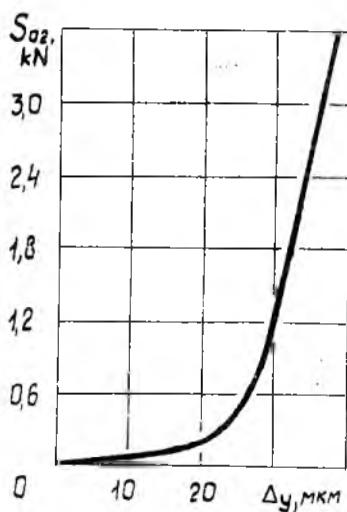
Расчетные кривые 2 и 3 получены при различной аппроксимации законов сближения контактирующих поверхностей в КУ. Кривая 2 соответствует линейному закону сближения контактирующих поверхностей ($C_3 = 5 \cdot 10^8$ Н/м), а кривая 3 получена при использовании экспериментальной статической кривой "контактная нагрузка - сближение" (рис.4).



Р и с. 3. Временные зависимости вибраций корпуса пневмогидроклапана

Сравнение результатов расчета и эксперимента показывает, что линейный подход при определении динамических нагрузок в КУ приводит к большим погрешностям. Наибольшая точность расчета обеспечивается при использовании экспериментальных статических кривых "контактная нагрузка - сближение".

Достоверность изложенной методики определения динамических нагрузок в КУ подтверждена сравнительными расчетами ряда типовых конструкций ПГА. Практическое применение методики позволяет на стадии проектирования и до-



Р и с. 4. Экспериментальная зависимость сближения элементов КУ от контактной нагрузки

водки агрегатов оценить степень оптимальности конструкций, обосновать требования к обеспечению их работоспособности и ресурса.

Л и т е р а т у р а

1. Б у г а е н к о В.Ф. Пневоавтоматика ракетно-космических систем. -М.:Машиностроение, 1979. - 168 с.
2. Б и д е р м а н В.Л. Прикладная теория механических колебаний. -М.:Высшая школа, 1972. - 416 с.
3. Ч а р н ы й И.А. Неустановившееся движение реальной жидкости в трубах. -М.:Недра, 1975. - 296 с.

УДК 629.7.036 + 518.0

В.И.Есин, М.Н.Буслаев, Ю.Г. Прядко

АНАЛИТИЧЕСКАЯ КОРРЕКЦИЯ ПОГРЕШНОСТЕЙ СИСТЕМ КОНТРОЛЯ ДАВЛЕНИЯ СИЛОВЫХ УСТАНОВОК ЛЕТАТЕЛЬНЫХ АППАРАТОВ

Известные в настоящее время системы контроля давления (СКД) силовых и энергетических установок летательных аппаратов в большинстве случаев представляют собой непроточные газовые и жидкостные линии, соединяющие контролируемый объект с датчиком давления (ДД). Трубопровод, демпфер, непроточная полость под чувствительным элементом ДД, входящие в состав непроточных СКД, могут являться источником значительных искажений информации о процессах в силовых установках.

Задачу коррекции погрешностей таких СКД необходимо решать с помощью достаточно простых и в то же время общих методов, позволяющих использовать их в широком диапазоне параметров процессов в силовых установках (входных воздействий СКД) и конструктивных параметров измерительных систем.

Одному из возможных методов аналитической коррекции погрешностей СКД, обладающему достаточной общностью, посвящена данная статья.

Задача аналитической коррекции может быть описана с помощью